

气象学上常用
热力学图解

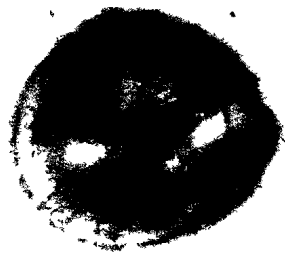
姜达雍 编

高等教育出版社



气象学上常用 热力学图解

姜达雍 编



高等教育出版社

本书是天气分析和预报的工具之一，内容对气象学上常用的热力学图解作了比较全面和深入的阐述。其中包括：图解的定义、功用、结构要求、图解的普遍理论；常用热力学图解即温度-对数压力图解等的应用。

本书适用于气象专业的学生、教师和技术人员参考。

高等教育出版社出版 北京宣武门内永乐巷7号

(北京市书刊出版业营业登记证字第054号)

京华印书局印刷 新华书店发行

统一书号 13010·604 开本 850×1168 1/16 印张 2 1/16 基页 2
字数 63,000 印数 0001—3000 定价(8) 0.48
1959年6月第1版 1959年6月第1次印刷

目 录

一、緒言.....	1
二、功用、結構要求与普遍理論的应用.....	1
三、常用热力学图解.....	7
1. 埃瑞图解.....	7
2. 温度图解.....	13
3. 假絕热图解.....	14
4. 相当位温图解.....	17
5. 高空絕热图解.....	18
6. 声达图解.....	19
四、具体应用(温度-对数压力图解的应用).....	20
1. 上升曲線的繪制与分析(大气层結图示与分析).....	20
2. 确定云的下限和上限.....	21
3. 热力水汽特性的計算与比較.....	21
4. 等压面高度的計算.....	36
5. 能量的計算.....	46
6. 降水率的計算.....	60
7. 气团分析.....	63
五、結語	64

一、緒言

近 15 年來，隨着高空探測技術的進步和世界範圍內高空網的逐步建立與擴充，人們愈來愈多地掌握了大量資料，從而使大氣的三度空間結構研究有了可能。現在天氣學的發展早已由間接的分析過渡到直接的分析了。由於氣象工作者的努力，人們不僅已對大氣的三度空間結構有了比較清楚的了解，而且三度空間的分析也已直接被應用到實際預報工作中去。

為了清楚地表示和分析高空探測的結果，曾經採用了多種多樣的高空圖解。熱力學圖解就是其中的一種。因為這種圖解不僅能表示大氣的熱力學狀態（氣壓、溫度、濕度）及其在絕熱過程中的變化，並且圖解上的面積又能代表功。所以人們在研究工作和實際工作中都經常地應用它。

又由於這種圖解主要是描述大氣的絕熱過程，因此它又被叫做絕熱圖解。

本書編寫目的：在於簡單地敘述熱力學圖解的功用，結構要求和普遍理論的應用，並着重介紹了幾種常用的熱力學圖解及其具體應用，供氣象專業的學生、教師和技術人員參考。

二、功用、結構要求與普遍理論的应用

1. 功用

- 1) 上升曲線的繪制與分析（大氣層結圖示與分析）。
- 2) 確定雲的下限和上限。

- 3) 絶热過程变化的計算(熱力水汽特性的計算)。
- 4) 等压面高度的計算。
- 5) 能量的計算(計算單位質量或單位容积空气的不稳定能量, 确定所給的大气层中全部不稳定能量儲藏量, 計算环流力管)。
- 6) 降水率的計算。
- 7) 气团分析。

2. 結構要求

- 1) 坐标 热力学图解的坐标, 应該是实际觀測得到的气象要素, 或其简单函数。坐标的尺度, 要設計到图解上的基本线条多数成为直線或近似直線。
- 2) 基本线条 热力学图解上的各种线条的交角, 要愈大愈好。

現用热力学图解上的基本线条有五种: 即等温綫、等压綫、干絕热綫、湿絕热綫、及最大比湿(混合比)綫; 附加等重力高度綫、虛溫訂正綫。

- 3) 图上面积 应与能量成正比。

3. 普遍理論的应用

- 1) 理論的基本观念 热力学图解上的面积应代表功, 这一观念是建立在鉛直方向的动力平衡关系上, 即靜力学方程。

$$dp = -\rho g dz.$$

上式变形积分則

$$g(z_2 - z_1) = - \int_{p_1}^{p_2} v dp \quad (1)$$

这里 g 是重力加速度, z 是鉛直高度, p 是气压, v 是比容, ρ 是密度。其中 $g(z_2 - z_1)$ 是表示空气质点由 z_1 高度到 z_2 高度所需要作的功, 也就是空气质点所增加的重力位勢。

在普通物理学中, 因次公式告訴我們, 任一公式等号两边的因

次必須相同，这公式方能成立。因此从(1)式，我們就知道等号右边的 $-\int_{p_1}^{p_2} vdp$ 是代表功。另外，在热力学中已有詳細證明，來說明在 $p-v$ 圖上 $-\int_{p_1}^{p_2} vdp$ 是一面积可以代表功(图 1)。

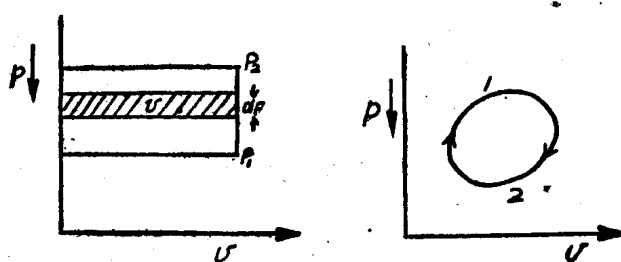


图 1. 用 $p-v$ 图上的面积来表示功

事实上 $p-v$ 图上任一閉合面积亦可代表功。这种証明非常容易，今根据热力学第一定律，沿任一閉合線积分有：

$$\oint dq = c_p \oint dT - \oint vdp = -\oint vdp. \quad (2)$$

式中 $\oint dT = 0$ ，这里 q 是热量， c_p 是定压比热， T 是温度， v 是比容， p 是气压。(2) 式中 $-\oint vdp$ 是 $p-v$ 图上閉合面积，它等于热量传递或功的施用或吸收。

在(1)和(2)式中，說明了在 $p-v$ 图上面积是代表功的；也可以說，图上面积是与能量发生联系了。这一点應該是热力学图解最根本的結構要求。从上面講述，我們知道热力学图解的制作是可能的，問題是在于如何应用到气象学上来。

2) 气象学上的应用 $p-v$ 图上面积虽然可用来計算热力过程中的功，但在气象学中却不便应用，原因是比容不能觀測，因此就必须設計一种新的坐标系統，这种坐标應該是实际觀測得到的气象要素，或其简单函数；并且使这种新坐标系統又保持任何图形

原在 $p-v$ 图上的面积，以便于功的计算，这种转换坐标系统并保持面积的方法，称为面积坐标转换法，其说明如下：

假设 新的一种热力学图解（图 2-b）其横坐标为 x 轴，纵坐标为 y 轴，它们都是气体状态的另一种函数形式，即：

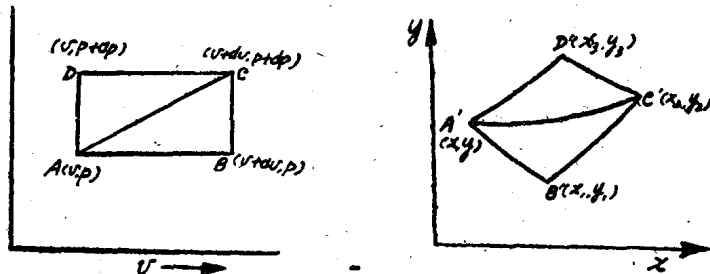


图 2.

a) 在 $p-v$ 图上矩形元量就表示膨胀功元量

b) 在 $x-y$ 能量图解上，膨胀功元量用四边形元量表示

$$\left. \begin{array}{l} x = \phi(v, p), \\ y = \psi(v, p). \end{array} \right\} \quad (3)$$

于是在这个新的热力学图解上的任一点也与气体的某个状态相当。在 $p-v$ 图上，等压线和等比容线都是直线（图 2-a），而在新的 $x-y$ 图解上，等压线，等比容线一般都是曲线（图 2-b）。在 $p-v$ 图解上四边形 $ABCD$ 应与 $x-y$ 图解上某个曲线的四边形 $A'B'C'D'$ 相应，如果四边形面积 $A'B'C'D'$ 的面积等于 $ABCD$ 的面积，或二者相差一个常数倍数，那么，就可以量出相对应于新图解上面积的膨胀功，就象在 $p-v$ 图上量度原来的面积一样。

如此看来，要设计气象上应用的热力学图解，只要证明新坐标上面积与旧坐标相应面积相等，或相差一个常数倍数。用公式写即：

如用 $d\sigma'$ 表示 $A'B'C'D'$ 的面积，用 $d\sigma$ 表示 $ABCD$ 的面积，则有： $\square A'B'C'D' = D \square ABCD$ 或 $d\sigma' = D d\sigma$ 式中 D 为常数。 (4)

證明(4)式，准确到二阶无穷小微量 面积 $A'B'C'D'$ 可以当成是曲綫三角形 $A'B'C'$ 面积的两倍，具有同样的准确度， $A'B'C'$ 面积又可当成与直角三角形 $A'B'C'$ 的面积一样。

新旧坐标的关系，将四边形图頂点的坐标表示如下：

$$\begin{array}{ll} A'(x, y), & A(v; p), \\ B'(x_1, y_1), & B(v+dv, p), \\ C'(x_2, y_2), & C(v+dv, p+dp), \\ D'(x_3, y_3), & D(v, p+dp); \end{array}$$

从上坐标轉換即可写成以下关系：

$$x = x(v, p),$$

$$y = y(v, p);$$

$$x_1 = x + dx_1 = x + \frac{\partial x}{\partial v} dv,$$

$$y_1 = y + dy_1 = y + \frac{\partial y}{\partial v} dv;$$

$$x_2 = x + dx_2 = x + \frac{\partial x}{\partial v} dv + \frac{\partial x}{\partial p} dp,$$

$$y_2 = y + dy_2 = y + \frac{\partial y}{\partial v} dv + \frac{\partial y}{\partial p} dp;$$

$$x_3 = x + dx_3 = x + \frac{\partial x}{\partial p} dp,$$

$$y_3 = y + dy_3 = y + \frac{\partial y}{\partial p} dp.$$

新旧坐标上面积的关系，大家知道，如三角形的頂点在 $A'(x, y)$, $B'(x_1, y_1)$, $C'(x_2, y_2)$ 各点，则其面积的二倍由下面的公式决定：

$$2 \times \Delta A'B'C' = \begin{vmatrix} x & y & 1 \\ x_1 & y_1 & 1 \\ x_2 & y_2 & 1 \end{vmatrix} \doteq \square A'B'C'D' = d\sigma',$$

因此有：

$$d\sigma' = \begin{vmatrix} x, & y, & 1 \\ x + \frac{\partial x}{\partial v} dv, & y + \frac{\partial y}{\partial v} dv, & 1 \\ x + \frac{\partial x}{\partial v} dv + \frac{\partial x}{\partial p} dp, & y + \frac{\partial y}{\partial v} dv + \frac{\partial y}{\partial p} dp, & 1 \end{vmatrix}$$

从二列减一列，三列减二列，则上式有：

$$d\sigma' = \begin{vmatrix} x, & y, & 1 \\ \frac{\partial x}{\partial v} dv, & \frac{\partial y}{\partial v} dv, & 0 \\ \frac{\partial x}{\partial p} dp, & \frac{\partial y}{\partial p} dp, & 0 \end{vmatrix} = \frac{\partial x}{\partial v} \frac{\partial y}{\partial p} dv dp - \frac{\partial x}{\partial p} \frac{\partial y}{\partial v} dv dp =$$

$$= \left(\frac{\partial x}{\partial v} \frac{\partial y}{\partial p} - \frac{\partial x}{\partial p} \frac{\partial y}{\partial v} \right) dv dp = \begin{vmatrix} \frac{\partial x}{\partial v}, & \frac{\partial y}{\partial v} \\ \frac{\partial x}{\partial p}, & \frac{\partial y}{\partial p} \end{vmatrix} dv dp =$$

$$= D d\sigma. \quad (4)'$$

$$\text{其中, 令雅可宾 } D = \begin{vmatrix} \frac{\partial x}{\partial v}, & \frac{\partial y}{\partial v} \\ \frac{\partial x}{\partial p}, & \frac{\partial y}{\partial p} \end{vmatrix} = \frac{\partial x}{\partial v} \frac{\partial y}{\partial p} - \frac{\partial x}{\partial p} \frac{\partial y}{\partial v},$$

$$dv dp = d\sigma,$$

$$\begin{aligned} \text{因为 } d\sigma &= \square ABCD \doteq 2 \times \Delta ABC = \begin{vmatrix} v, & p, & 1 \\ v + dv, & p, & 1 \\ v + dv, & p + dp, & 1 \end{vmatrix} = \\ &= \begin{vmatrix} v, & p, & 1 \\ dv, & 0, & 0 \\ 0 & dp, & 0 \end{vmatrix} = dv dp. \end{aligned}$$

討論(4)'式，当 $D=1$ 时，则积分(4)'式有 $\int d\sigma' = D \int d\sigma$ ，即

$\sigma' = \sigma$ 。这說明在旧坐标 $p-v$ 图上表示膨胀功的任一面积，经过反映到 $x-y$ 平面上以后，还能保持原来的大小，其充分与必要条件

是它的雅可宾 D 的絕對值等于 1。

当 D = 常数时, 则积分(4)' 式有 $\int d\sigma' = D \int d\sigma = C \int d\sigma$, 即 $\sigma' = C\sigma$ 。这說明雅可宾 D 等于任意常数 C 时(但不为 1), 那么, 在旧坐标 $p-v$ 平面上所取的面积反映到新坐标 $x-y$ 平面上以后, 其大小就要改变 C 倍。

当 $D = f(v, p)$ 时, 则积分(4)' 式有 $\int d\sigma' = \int D d\sigma = \int f(v, p) d\sigma$, 即 $\sigma' = \int f(v, p) d\sigma$ 。这說明雅可宾 D 不是常数值, 而是某个函数, 那么, 当反映到新坐标 $x-y$ 平面上以后, 面积大小改变各处都不相同。这种图解就不适宜用来表示膨胀功, 及用作其他的能量計算。

总结以上所講的, 我們就知道, 在气象学上能应用的热力学图解是可以設計成多种多样的[新坐标應該是气体状态的函数, $f(v, p)$], 但这种图解应用方便的充分与必要条件是它的雅可宾 D 等于 1 或为常数, 因此, 雅可宾 D 的运算就决定于新的热力学图解应用是否方便的判別式了。

三、常用热力学图解

1. 埃瑪图解

埃瑪图解的原意是每单位质量的能量图解, 所以又叫做能量图解, 或称功量图解, 功能图解等。我国通常称它为温度-对数压力图解。气象学名詞审查小組初审通过定名为賴夫斯达能量图解。

1) 結构

(1)坐标 橫軸是溫度的線性尺度 $(x = T = \frac{pv}{R})$ 。縱軸是气压

的对数尺度($y = \ln \frac{p_0}{p}$), 向下增加, 因为 $p=0$, 則 $-\ln p \rightarrow \infty$, 所以纵坐标不能到 $p=0$ 处, 一般位于 $p=40$ 毫巴处。

气压数值的范围一般都是自 1050 毫巴到 40 毫巴。依对数原理 $\ln 5p = \ln 5 + \ln p$, 这说明 $5p$ 的等压线和 p 等压线中间的距离是一个常数, 即是 $\ln 5$ 单位。由此知道在图解上, 从 1000 毫巴到 200 毫巴等压线中间的距离, 和 800 毫巴到 160 毫巴等压线中间的距离, 或 200 毫巴到 40 毫巴等压线中间的距离, 都是等于 $\ln 5$ 单位。我国现用温度-对数压力图解的顶部只到 200 毫巴高度为止, 然而探空记录可达到 200 毫巴高度以上, 这时候就需依照上述原理, 可确定 200 毫巴高度以上各特性点的位置。实用中图 6, 即当上升高度超过 200 毫巴时, 可按括号内的气压数值, 从 250 毫巴再行填起, 直至 50 毫巴。位温与饱和比湿应使用括号内的数值。

(2) 基本线条

a) 等温线 直线。都是平行于纵坐标的等距离垂直线, 每隔 1°C 画一根等温线。

b) 等压线 直线。都是平行于横坐标的水平直线, 每隔 10 毫巴画一根等压线。

c) 等 θ 线(干绝热线) 对数曲线。今证明如下: 对于干绝热方程我们可依包桑方程, $\theta = T \left(\frac{1000}{p} \right)^{\frac{R}{c_p}}$, 其中 θ 表位温, T 表温度, p 表气压, c_p 表定压比热, R 表干空气气体常数。在干绝热过程中空气的位温是不变的, 给位温一定的值($\theta = \text{常数}$), 并取上式的对数, 则有: $\ln \theta = \ln T + \frac{R}{c_p} \ln \left(\frac{1000}{p} \right)$, 在温度-对数压力图解上(见图 6 插页), 横轴为 $T(x=T)$, 纵轴为 $\ln \left(\frac{1000}{p} \right)$ [$y = \ln \frac{p_0}{p}$], 代入上式则得到该图解上的干绝热方程。

$$\text{常数} = \ln x + \frac{R}{c_p} y, \quad \text{即 } y = -\frac{c_p}{R} \ln x + \text{常数}.$$

对 x 軸的交角为 $y' = \frac{c_p}{R} - \frac{1}{x}$, 交角的改变率为:

$$y'' = \frac{c_p}{R} \frac{1}{x^2}.$$

所以在温度-对数压力

图解中, 干絕热綫(等 θ 線)是稍微弯曲的对数曲綫, 自右向左上升, 对 x 軸凸出, 坡度因温度的增加而减少(图 3)。在目前我国实用的温度-对数压力图解上, 干絕热綫为黃色斜实綫(見圖 6 插頁)。

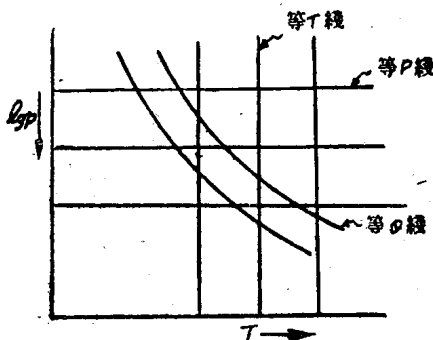


图 3. 埃瑪图解上等 θ 線是对数曲綫

d) 等饱和比湿綫(等克綫) 是双曲綫的一段, 在日常的溫度和压力范围内是接近直綫。今証明如下: 每种热力学图解上的一点, 假設气压为 p , 温度为 T , 饱和水汽压亦确定了。这是因为饱和水汽压仅是温度的函数, 亦就是說图解上的等温綫就是等饱和水汽压綫, 但是一般图解上等温綫并不标出等饱和水汽压数值, 而是画出等饱和比湿綫, 就是饱和状态比湿相等的綫, 根据比湿的近似公式得: $S \doteq 622 \frac{E}{p}$ 克/千克。其中 S 表饱和状态下的比湿, E 表饱和水汽压, p 表气压。如果在同一条等饱和比湿綫上, ($S = \text{常数}$), 上式取对数可写成 $\lg E - \lg p = \lg C$, C 表常数, 微分則

$$d(\lg E) = d(\lg p). \quad (5)$$

我們又依克劳修斯-克拉珀龙 (Clausius-Claperon) 方程, 在推求升华曲綫方程过程中可以得到饱和水汽压与温度的关系式, 其步骤如下:

克劳修斯-克拉珀龙方程为: $\frac{L_{12}}{T} = (v_2 - v_1) \frac{dp}{dT}$.

其中 L_{12} 表相 1 转变到相 2 的潜热, T 表温度, v_2, v_1 分别表相 2, 相 1 时的比容, p 表气压。

在推求升华曲线方程时, 则有 $\frac{L_{iw}}{T} = (v_w - v_i) \frac{dE}{dT}$, 其中 L_{iw} 表升华潜热, v_w 表水汽比容, v_i 表冰的比容, E 表饱和水汽压, T 表温度。因为 $v_w \gg v_i$, 所以可认为 $v_w - v_i \approx v_w = \frac{RT}{E}$ 代入上式, 克劳修斯-克拉珀龙方程可写成: $\frac{dE}{dT} = \frac{1}{v_w - v_i} \frac{L_{iw}}{T} = \frac{E}{R_w T} \frac{L_{iw}}{T} = \frac{L_{iw}}{R_w} \frac{E}{T^2}$, 变数分离积分 $\int \frac{dE}{E} = \frac{L_{iw}}{R_w} \int \frac{dT}{T^2}$, 即 $\ln \frac{E}{E_0} = \frac{L_{iw}}{R_w} \left(\frac{1}{T_0} - \frac{1}{T} \right)$, 当 $L_{iw} = 677$ 卡/克, $R_w = 0.10$ 卡/克, $T_0 = 273^\circ\text{K}$, 代入上式同时变为以 10 为底的对数, 则上式可写为 $\lg \frac{E}{E_0} = 2940 \left(\frac{1}{T_0} - \frac{1}{T} \right)$, 设初始状态 E_0, T_0 已知, 则上式即成为 $\lg E = -K \left(\frac{1}{T} \right)$, K 为常数微分后有 $d(\lg E) = -K d \left(\frac{1}{T} \right)$. (6)

将(6)式代入(5)式则有: $d \lg p = -K d \left(\frac{1}{T} \right)$.

$$\text{积分得: } \left. \begin{aligned} \lg \frac{p}{p_0} &= -K \left(\frac{1}{T} - \frac{1}{T_0} \right) \\ \lg \frac{p_0}{p} &= K \left(\frac{1}{T_0} - \frac{1}{T} \right) \end{aligned} \right\} \quad (7)$$

或 在温度-对数压力图解中, $x = T$, $y = \lg \frac{p_0}{p}$, 所以在该图解上等饱和比湿方程式是:

$$xy = K \left(1 - \frac{x}{x_0} \right). \quad (8)$$

即在该图上每一等饱和比湿线(等克线)是双曲线的一段, 但是在大气情况下, 所碰到的气压与气温的范围内, 等克线实际上是一

直線(图 4)，它的坡度处于干絕熱線与等溫線之間；随着溫度的增高，傾斜角也有些加大。

等飽和比濕線的單位是克/千克，在目前我国实用的溫度-對數壓力圖解上(見图 6 插頁)，綠色實線為等飽和比濕線，其範圍自 0.01—40 克/千克。

e) 濕絕熱線 繪制与計 图 4. 埃瑪圖解上的等克線是双曲線的一段
算均較麻煩，开始时濕絕熱線比干絕熱线上升急剧，后来随着气压的減低，溫度的降低，比湿隨着減小，濕絕熱線漸与干絕熱線接近。其討論繪制如下：

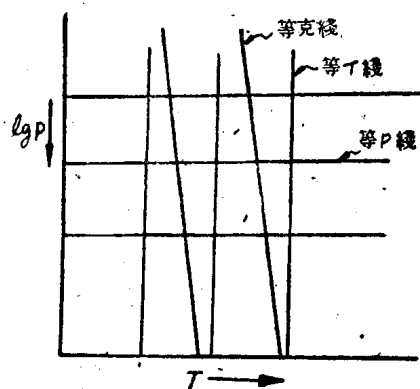
濕絕熱過程的討論：空气中水汽达到飽和状态，則空气由于絕熱膨脹結果溫度陸續下降，水汽开始凝結，其過程有二：i) 凝結的水滴及冰晶仍留在該氣体内，而随着空气共同作垂直运动(是可逆的)称为濕絕熱变化。ii) 凝結物一部分或全部分降落(为自然界的降水)(是不可逆的)，称假絕熱過程。

实际過程与上述二種情況都不相同，凝結物既不是完全降落，也不是完全不降落，这样的情況在理論上還沒有办法討論，为滿足实际应用的需要，可采用下述討論。

設有 $(1+w_s)$ 克的飽和湿空气，状态为 (p, T, w_s) ，其中包括 1 克的干空气及 w_s 克的水汽，經過很小一段過程的絕熱膨脹，状态改变为 $(p+dp, T+dT, w_s+dw_s)$ ，这里假定 dp, dT, dw_s 均为負值。

$-dw_s$ 克的凝結物必然放出 $-Ldw_s$ 的热量，所以

$$-Ldw_s = (1+w_s) \left(c_p dT - RT \frac{dp}{p} \right), \text{ 因为 } w_s \ll 1, c_p \leq c_{pd},$$



$R \doteq R_d$, 則有 $-Ldw_s \doteq c_{pd}dT - R_dT \frac{dp}{p}$, 若 $dp = 0$ 則有

$$-Ldw_s = c_{pd}(dT)_p. \quad (9)$$

(9)式表示在等压过程中使饱和的空气比湿改变 dw_s , 同时它所放出的潜热使空气增暖, 温度应改变 $(dT)_p$ 。

将此过程推广到未饱和的空气, 在等压的情况下当比湿有 dw 改变时, 被放出潜热为 $-Ldw$, 亦就是凝结时放出热量, 蒸发时吸收热量。

令 $c_{pd} = 1004$ 焦耳/千克·度, $L = 2500 \times 10^6$ 焦耳/千克代入 (9)式在蒸发时, 且等压下: $-Ldw = c_{pd}(dT)_p$,

$$\therefore (dT)_p = -2.5(dw)_p. \quad (10)$$

在凝结时, 且等压下, $-Ldw = -c_{pd}(dT)_p$,

$$\therefore (dT)_p = 2.5(dw)_p. \quad (11)$$

(10)式说明湿空气在等焓过程(等压绝热过程)中, 蒸发 1 克/千克的水为水汽时, 空气温度要降低 2.5° 。(11)式说明湿空气在等焓过程中, 凝结同等量的水汽, 温度要升高 2.5° 。

湿绝热线的绘制沿着经过任何一点的湿绝热线, 它上升的饱和空气必然自状态 $A(T, p, w_s)$ 改变为 $B(T + \delta T, p + \delta p, w + \delta w_s)$,

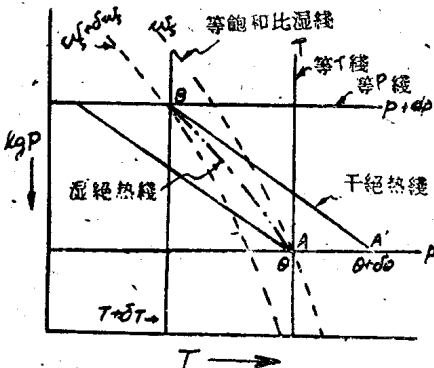


图 5. 埃瑞图解上湿绝热线的绘制

这时我们可按以下两个过程, 从状态 $A(T, p, w_s)$ 出发时先经过等压绝热过程到状态 A' , 使其温度增高, 位温增加为 $\theta + \delta\theta$, 再沿干绝热过程, 状态变到 $B(T + \delta T, p + \delta p, w + \delta w_s)$ 。我们可以选择 δw_s 为固定数值 (一般取 -1×10^{-3} 克/千

克或 -2×10^{-8} 克/千克), 在等压绝热过程中, 温度必然增高 2.5°K 。确定了 A' 点后再沿干绝热线上升与 $w_s + \delta w_s$ 的等饱和混合比线相交一点 B 。重复上述的步骤, 即可得到一系列 $A, B, C, D, E \dots$ 等状态点, 然后连接起来, 就是我们要求的湿绝热线。

目前在我国实用的温度-对数压力图解上(见图6插页), 绿色虚线为湿绝热线; 每隔10度标出假位温数值。

(3) 面积与能量的关系

在温度-对数压力图解上(见图6插页), 将横坐标 $x = T = \frac{pv}{R}$, 纵坐标为 $y = \ln \frac{p_0}{p}$ 代入雅可宾 D 的判别式有:

$$D = \frac{\partial x}{\partial v} \frac{\partial y}{\partial p} - \frac{\partial x}{\partial p} \frac{\partial y}{\partial v} = -\frac{1}{R}, R \text{ 是气体常数, 故该图解可以计算能量。}$$

2) 优缺点: 优点—等值线多为直线或近似直线; 此外图解上面积可以代表能量。缺点—等温线和等 θ 线的交角不超过45度, 所以它不能很明显地表示大气的垂直稳定性。

2. 温熵图解

温熵图解(图9)是由气象学者萨氏(N. Shaw)最初创制采用。因其横坐标以温度线性尺度, 纵坐标以位温的对数尺度, 而熵的增加与位温的对数的增加成正比, 熵常用希腊字母 ϕ 表示, 所以又称温熵图解, 或称 $(T-\phi)$ 图解。

1) 结构

(1) 坐标 横轴是温度的线性尺度($x = -T = -\frac{pv}{R}$), 纵轴是位温的对数尺度($y = \ln \theta$)。

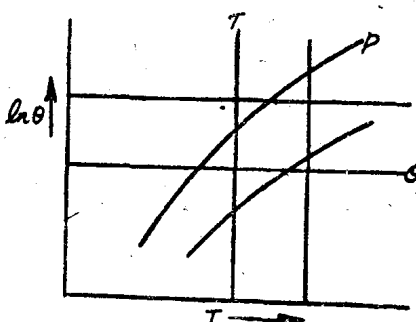


图7. 温熵图解上的等压线是双数曲线